



السلوك الديناميكي لنموذج رياضي يبين تأثير البيئة على مستوى النجاح لطلبة المدارس

احمد علي محسن

مديرية تربية بغداد الرصافة الأولى، وزارة التربية، العراق.

تاريخ الاستلام: 2016 / 4 / 30

تاريخ قبول النشر: 2016 / 8 / 8

Abstract

There are many factors that affect on the educational process behaviors as the one of these factors is the environment in which the students live. The main objective of this paper is to study and find out the extent of the effect of the environment and interact it on the dynamic behavior of the proposed model. Assume that the student populations are divided into three levels: the first level, namely the success students, the second level the lazy students and the last level namely surrounding environment for students. The existence, uniqueness and boundedness of the solution of this model are investigated. The local and global dynamical behaviors of the model are studied. Finally, in order to confirm our obtained results and specify the effects of model's parameters on the dynamical behavior, numerical simulation of the XYV model is performed.

Key words

Mathematical model, Local and Global Stability, Effect of Environment.

العلاقات الاجتماعية في ما بينهم كل هذه لها تأثير على الطلبة

[11-13]. في هذا البحث اقترحنا نموذج رياضي درسنا فيه تأثير البيئة على المستوى العلمي لطلبة المدارس. درسنا الاستقرارية المحلية والكلية لكل نقاط التوازن المحتملة للنموذج وكذلك قمنا بمحاكاة عدديه للنموذج المقترن بإستخدام برنامجي الماتلاب والC++.

2. النموذج الرياضي

في هذا البحث اقترحنا نظام رياضي يصف تأثير البيئة على المستوى العلمي لطلاب المدارس الثانوية حيث تكون النظام من ثلاث معادلات تفاضلية غير خطية. كل معادلة تمثل جزء معين من مجتمع الطلبة فالمعادلة الاولى تمثل الطلبة المعرضين لتأثير البيئة الغير صالحة للتعليم ويرمز لها بالرمز $(t)X$ عند الزمن t ، والمعادلة الثانية تمثل الطلبة اصحاب المستوى الدراسي المنخفض ويرمز لها بالرمز $(t)Y$ عند الزمن t ، واخيراً المعادلة الثالثة من النظام والتي تمثل البيئة المؤثرة على الطالب والتي يتفاعل معها وتحيط به وهي على عدة انواع على سبيل المثال (البيئة الاجتماعية الفقيرة او العائلة نفسها للطالب او البيئة الالكترونية والمتمثلة بوسائل التواصل الاجتماعي وغيرها...) ويرمز لها بالرمز $(t)V$ عند الزمن t ، والشكل الاتي هو خطط يمثل النظام المقترن:

1. المقدمة

هناك العديد من العوامل التي تؤثر على سير العملية التربوية والتعليمية، ومن هذه العوامل هو البيئة التي يعيش فيها الطالبة. الهدف الرئيس من البحث هو دراسة ومعرفة مدى تأثير البيئة والتفاعل معها على السلوك динاميكي للنموذج المقترن. افترضنا ان المجتمع الظاهري يتكون من ثلاثة اقسام هي الاول الطلبة المتميزون والقابلين للتأثير بالبيئة المحيطة بهم والثاني الطلبة اصحاب المستوى الدراسي المنخفض والمتاثرين بالبيئة والقسم الاخير البيئة المحيطة بالطلبة. تمت مناقشة وجود وحدانية وقيود الحل للنموذج المقترن. قمنا بدراسة السلوك الشامل له. واخيراً من اجل تأكيد نتائجنا وتحديد تأثير معلمات النموذج التربوي على السلوك динاميكي له اجرينا محاكاة عدديه له.

الكلمات المفتاحية

النهاج الرياضية، الاستقرارية المحلية والكلية، تأثير البيئة.

منذ فتره ليست بالقصيرة اصبحت الانظمة او النهاج الرياضية واحدة من اهم الادوات المهمة لحل الكثير من المشاكل وذلك من خلال دراسة وفهم السلوك динاميكي لها وتقديم الحلول المناسبة. وهنا قدمنا مشكلة تأثير البيئة على المستوى العلمي للطلبة في المدارس وما لا شك فيه ان البيئة تؤثر تأثيراً كبيراً في مجلمل العملية التعليمية والتربوية، كما تؤثر على الطلبة من الناحية المعرفية والنفسية والوجدانية افتاثير البيئة على الطلبة لا ينحصر على تلقي المعلومات والمعارف فحسب بل يتطلعوا الى دور اوسع يتمثل بشعورهم بالذات والثقة بأنفسهم كذلك التطلع الى تنمية القدرات والقابليات للطلبة اكل هذا بحاجة الى بيئه تكون قادرة على تلبية متطلبات العمل وتقدم طاقات الطلبة وتوجهها نحو تحقيق الاهداف. في هذا البحث تطرقنا الى تأثير عدة انواع من البيئة التي تؤثر على الطلبة منها: الفقر الذي يواجهه معظم الطلبة حيث تشكل الحالة الاقتصادية لكثير من العوائل مشكلة كبيرة ويعد القضاء عليها احد اهم واجبات الدوله لانه يعد ضمان للاستقرار والسلم الاجتماعي [1, 2]. وهو احد المشاكل الخطيرة والمعقدة التي تقف وراء تدني مستوى الكثير من الطلبة وله اثار سلبية كبيرة وكما قال امير المؤمنين علي ابن ابي طالب (عليه السلام) "لو كان الفقر رجلاً لقتله" ولهناك ايضاً مقوله لأرسسطو في التراث الفلسفى هي "الفقر هو مولد الثورات والجرائم" وهذه دلالات واضحة على خطورة ظاهرة الفقر [3-10]. كذلك هناك البيئة الالكترونية والتكنولوجية لها اثار ايجابية في تقدم الشعوب ايضاً لها اثار سلبية تشر على تقدم العملية التعليمية والتربوية. وتعتبر عوائل الطلبة واحدة من اهم انواع البيئة التي تؤثر على سلوك الطلبة فالتحصيل الدراسي للعائلة وطبيعة

جدول (1): تفسير لكل الثوابت الموجودة في النظام المقترن

الوصف	الثابت
هو نسبة الطلبة الوافدين الجدد.	Λ
نسبة الطلبة المتأثرين بالبيئة.	β
نسبة الفشل الحاصلة بتأثير البيئة على الطلبة.	m
نسبة التفاعل او تأثير الطلبة اصحاب المستوى الدراسي المنخفض على الطلبة في المعادلة الاولى.	α
نسبة فشل تأثير الطلبة اصحاب المستوى الدراسي المنخفض.	n
نسبة ترك الدراسة ونسبة الزوال الحاصلة بالبيئة.	μ
نسبة الطلبة اصحاب المستوى الدراسي المنخفض.	θ
يمثل نسبة البيئة الغير الصالحة للتعليم وقيمتها هي $a \geq 0$.	a
زيادة تلوث البيئة بفعل الطلبة اصحاب المستوى الدراسي المنخفض وقيمتها $\sigma \geq 0$.	σ

$E_0 = (X_0, Y_0, 0)$ حيث ان:

$$\left. \begin{array}{l} X_0 = \frac{\Lambda}{\alpha(1-n)Y + \mu} \\ Y_0 = \frac{-B + \sqrt{B^2 - 4AC}}{2A} \end{array} \right\} \quad (2)$$

$$A = \alpha\mu(1-n) > 0$$

$$B = \mu^2 - \alpha(1-n)(\Lambda + \theta)$$

$$C = -\mu\theta < 0$$

لذلك فان هذه النقطة تكون موجودة و موجبة اذا تحقق

الشرط:

$$\mu^2 < \alpha(1-n)(\Lambda + \theta) \quad (3)$$

1. عندما $V \neq 0$ يكون للنظام (1) نقطة توازن ثانية

ويرمز لها بالرمز $E_1 = (X_1, Y_1, Z_1)$ حيث انه يمكن

اعادة كتابة النظام (1) بالصيغة:

$$\Lambda - \beta(1-m)XV - \alpha(1-n)XY - \mu X = 0$$

$$\theta + \beta(1-m)XV + \alpha(1-n)XY - \mu Y = 0 \quad (4)$$

$$aV + \sigma Y - \mu V = 0$$

وبناءً على ذلك نفرض ان العدد الكلي لمجتمع الطلبة هو $N = X(t) + Y(t) + V(t)$. ومن الواضح ان المتغيرات

في النظام (1) تكون في المجال:

$$R_+^3 = \{(X, Y, V) \in R_+^3, X \geq 0, Y \geq 0, V \geq 0\}$$

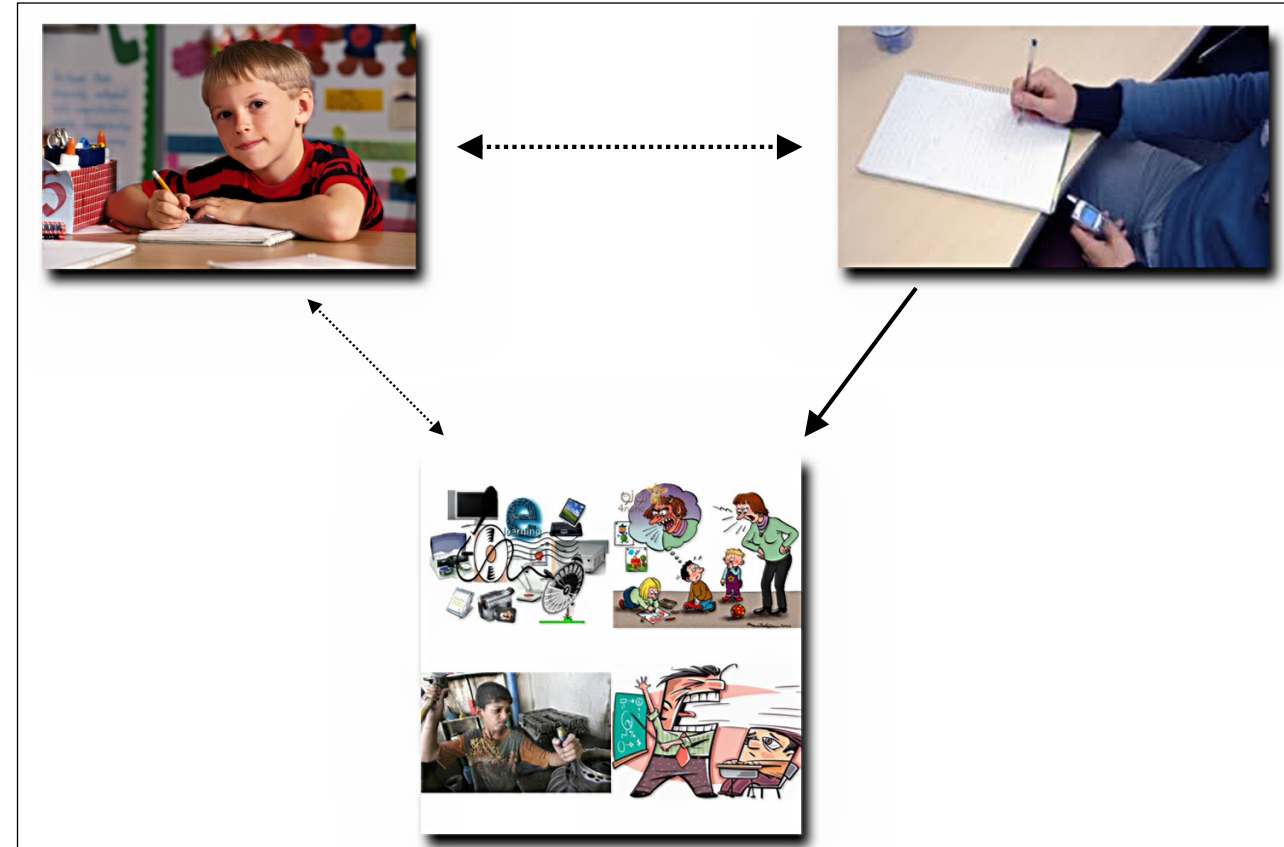
اي ان النظام (1) له حل موجب. اضافة الى ذلك ان المعادلات في النظام (1) هي مستمرة ومشتقاتها مستمرة وتحقق دالة ليشزرين من هذا يتبع ان الحل موجود و وحيد في R_+^3 كذلك ان $N \leq \frac{\Lambda + \theta}{\mu}$.

3. إيجاد نقاط التوازن للنظام (1)

في هذا الجزء انماش وجود كل النقاط الثابتة والمحتملة للنظام (1) هنا نلاحظ ان النظام (1) له نقطتين فقط من نقاط التوازن سيرمز لها بالرمز $E_i = (X_i, Y_i, V_i)$, $i = 0, 1$

وفي مايلي استعراض للشروط اللازم تحقيقها لايجاد هذه النقاط:

عندما $V = 0$ فان النظام (1) يمتلك نقطة التوازن



شكل (1): يمثل التفاعلات بين عناصر النظام المقترن

ويمكن كتابة النظام بالمعادلات التفاضلية الآتية:

$$\begin{aligned} \frac{dX}{dt} &= \Lambda - \beta(1-m)XV - \alpha(1-n)XY - \mu X \\ \frac{dY}{dt} &= \theta + \beta(1-m)XV + \alpha(1-n)XY - \mu Y \\ \frac{dV}{dt} &= aV + \sigma Y - \mu V \end{aligned} \quad (1)$$

هنا جميع الثوابت الموجودة في النظام اعلاه هي موجبة والجدول التالي يبين تفسير وقيمة كل ثابت.

وبتبسيط هذه المعادلة ينتج:

$$\frac{dK_1}{dt} = -[\alpha(1-n)Y + \mu](X - X_0)^2 + [\alpha(1-n)(Y_0 - X_0)](X - X_0)(Y - Y_0) - [\mu - \alpha(1-n)X](Y - Y_0)^2 - [\beta(1-m)X + \frac{\beta}{Y}(1-m) + \mu]V + [\sigma Y + \beta(1-m)X_0V + \beta(1-m)V + aV]$$

وإذا كانت الشروط (15-16) متحققة فان:

$$\frac{dK_1}{dt} \leq -[\sqrt{\alpha(1-n)Y + \mu}(X - X_0) + \sqrt{\mu - \alpha(1-n)X}(Y - Y_0)]^2$$

$$- [\beta(1-m)X + \frac{\beta}{Y}(1-m) + \mu]V + [\sigma Y + \beta(1-m)X_0V + \beta(1-m)V + aV]$$

حيث ان $0 < \frac{dK_1}{dt} < \infty$ أي شرط ابتدائي اذا حققت الشروط (16-15) و K_1 تحقق دالة ليابانوف اذا تحقق الشروط (15-17) وهذا ينتج بان نقطة التوازن (E_0) تكون مستقرة استقراراً كلياً.

5. تحليل الاستقرارية المحلية والكلية للنظام (1) عند النقطة E_1

لدراسة الاستقرارية المحلية للنظام (1) عند النقطة E_1

نفرض النقطة في المصفوفة (9) كما مبين في النظرية ادناه.

نظرية (3): لتكن النقطة E_1 موجودة فعندها تكون مستقرة اذا تحقق الشرط التالي:

$$\mu > \max\{2\alpha(1-n)X_1 + \sigma, 2\beta(1-m)X_1 + a\} \quad (18)$$

البرهان: يمكن كتابة المصفوفة (9) عند النقطة E_1 بالصورة ادناه:

$$J_1 = \begin{bmatrix} -[\beta(1-m)V_1 + \alpha(1-n)Y_1 + \mu] & -\alpha(1-n)X_1 & -\beta(1-m)X_1 \\ \beta(1-m)V_1 + \alpha(1-n)Y_1 & \alpha(1-n)X_1 - \mu & \beta(1-m)X_1 \\ 0 & \sigma & a - \mu \end{bmatrix}$$

الآن وبتطبيق مبرهنة كرشكورن [17] فاذا كان الشرط

$$\text{التالي: } |b_i| > \sum_{\substack{i=1 \\ i \neq j}}^3 |b_j|$$

والآن عند تطبيق قاعدة روث-هوارتز [15] تكون نقطة التوازن E_0 الخاصة بالنظام (1) مستقرة استقراراً محلياً اذا كانت الشروط $A_1 > 0; A_3 > 0$ و $\Delta = A_1A_2 - A_3 > 0$ متتحققة. وبسهولة نلاحظ ان $A_1 > 0; A_3 > 0$ تكون موجبة إذا تحقق الشرط $\Delta = A_1A_2 - A_3 > 0$ ، بينما $\Delta = A_1A_2 - A_3 > 0$ تكون متتحققة اذا تحقق الشرط (10) انتهى البرهان.

والآن ندرس الاستقرارية الكلية للنقطة الاولى E_0 وذلك باستخدام دالة ليابانوف [16] كما مبين في النظرية التالية:

نظرية (2): اذا كانت النقطة E_0 مستقرة استقراراً محلياً فانها تكون مستقرة استقراراً كلياً اذا تحقق الشرط التالي:

$$\alpha(1-n)X < \mu \quad (15)$$

$$[\alpha(1-n)Y_0 - X_0]^2 < [\alpha(1-n)Y + \mu] \mu - \alpha(1-n)X \quad (16)$$

$$Y[\sigma Y + \beta(1-m)V + \beta(1-m)V + aV] < [\beta(1-m)X + \beta(1-m) + \mu]V \quad (17)$$

البرهان: لتكن K_1 دالة موجبة حيث ان:

$$K_1 = \left(X - X_0 - X_0 \ln \frac{X}{X_0} \right) + \left(Y - Y_0 - Y_0 \ln \frac{Y}{Y_0} \right) + V$$

من الواضح ان $K_1: R_+^3 \rightarrow R$ هي دالة مستمرة ومشتقتها مستمرة ايضاً بحيث ان:

$$K_1 = (X_0, Y_0, 0) = 0, \quad K_1(X, Y, V) > 0 \quad \forall (X, Y, V) \neq (X_0, Y_0, 0)$$

وبأخذ المشتقه للدالة K_1 نحصل على:

$$\frac{dK_1}{dt} = \left(\frac{X - X_0}{X} \right) dX + \frac{dY}{dt} + \frac{dV}{dt}$$

$$\text{التالي: } = \left(\frac{X - X_0}{X} \right) (\Lambda - \beta(1-m)XV - \alpha(1-n)XY - \mu X) + \left(\frac{Y - Y_0}{Y} \right) (\theta + \beta(1-m)XV + \alpha(1-n)XY - \mu Y) + aV + \sigma Y - \mu V$$

مستقرة اذا تحقق الشرط التالي:

$$2(1-n)Y_0 > \mu > \max\{\alpha(1-n)X_0\} \quad (10)$$

$$(a - \mu) \alpha(1-n)X_0 - \mu] > \beta(1-m)X_0 \quad (11)$$

$$(a - \mu) \alpha(1-n)Y_0 + \mu \alpha(1-n) + \mu + (a - \mu) > \sigma \alpha \beta(1-n) \alpha(1-m)X_0 Y_0 \quad (12)$$

البرهان: بعد التعويض عن النقطة E_0 في المصفوفة (9) يمكن

اعادة كتابتها بالصورة:

$$J_0 = \begin{bmatrix} -[\alpha(1-n)Y_0 + \mu] & -\alpha(1-n)X_0 & -\beta(1-m)X_0 \\ \alpha(1-n)Y_0 & \alpha(1-n)X_0 - \mu & \beta(1-m)X_0 \\ 0 & \sigma & a - \mu \end{bmatrix} \quad (13)$$

بسهولة ومن (13) يمكن كتابة المعادلة المميزة للنظام (1)

عند النقطة E_0 بالصورة الآتية:

$$\lambda^3 + A_1\lambda^2 + A_2\lambda + A_3 = 0 \quad (14)$$

حيث ان:

$$A_1 = -[a_1 + a_2 + a_3] = \alpha(1-n)Y_0 + \mu + \alpha(1-n)X_0 - \mu + a - \mu$$

$$A_2 = [a_1 a_2 - a_2 a_1 + a_1 a_3 + a_2 a_3 - a_3 a_2] = [a_1 a_2 a_3 + a_2 a_3 a_1 - a_1 a_3 a_2 - a_3 a_2 a_1]$$

$$A_3 = -[a_1 a_2 a_3 + a_2 a_3 a_1 - a_1 a_3 a_2 - a_3 a_2 a_1] = [\alpha(1-n)Y_0 + \mu \alpha(1-n)X_0 - \mu a - \mu] + [\sigma \alpha(1-n)Y_0 \beta(1-m)X_0 - (\alpha(1-n)Y_0 + \mu) \beta(1-m)X_0] - (a - \mu) \alpha^2 (1-n) X_0 Y_0$$

والآن نجد:

$$\Delta = A_1 A_2 - A_3$$

$$= -[a_1 + a_2 + a_3] [a_1 a_2 - a_2 a_1 + a_1 a_3 + a_2 a_3 - a_3 a_2] + [a_1 a_2 a_3 + a_2 a_3 a_1 - a_1 a_3 a_2 - a_3 a_2 a_1]$$

وباجراء عمليات حسابية نحصل على:

$$\Delta = [a_1 + a_2] [a_1 a_2 - a_1 a_2] + [a_2 + a_3] [a_3 a_2 - a_2 a_3] - a_1 a_3 [a_1 + a_3] + a_2 a_3 a_3$$

$$= -[\alpha(1-n)Y_0 + \mu] + [\alpha(1-n)X_0 - \mu] \cdot [-\alpha(1-n)X_0 \alpha(1-n)Y_0] - [-\alpha(1-n)Y_0 + \mu] + [\alpha(1-n)X_0 - \mu] \cdot [\beta(1-m)X_0] - (a - \mu) \alpha(1-n)Y_0 + \mu \beta(1-m)X_0 - (a - \mu) \alpha^2 (1-n) X_0 Y_0$$

لدراسة الاستقرارية المحلية للنظام (1) عند النقطة E_0 نعرض النقطة في المصفوفة (9) كما مبين في النظرية ادناه.

نظرية (1): لتكن النقطة E_0 موجودة فعندها تكون

فمن المعادلة الثالثة في النظام (4) نحصل على:

$$V_1 = \frac{\sigma Y_1}{\mu - a} \quad (5)$$

نعرض (5) في المعادلة الاولى للنظام (4) نحصل على:

$$X_1 = \frac{\Lambda(\mu - a)}{\sigma \beta(1-m)Y_1 + \alpha(1-n)(\mu - a)Y_1 + \mu(\mu - a)} \quad (6)$$

والآن عند تعويض كل من (5) و (6) في المعادلة الثانية (5) و (6) في المعادلة الثانية للنظام (4) ينتج:

$$D_1 Y_1^3 + D_2 Y_1^2 + D_3 Y_1 + D_4 = 0 \quad (7)$$

حيث ان:

$$D_1 = -\mu(\mu - a) \sigma^2 \beta^2 (1-m)^2 + \alpha(1-n)^2 (\mu - a)^2 + \sigma \beta \alpha(1-m)(\mu - a + 1)$$

$$D_2 = (\mu - a) \theta \sigma^2 \beta^2 (1-m)^2 + 2 \sigma \beta (1-m)(\mu - a) [\alpha \theta (1-n) - \mu^2] +$$

$$\alpha(1-n)(\mu - a)^2 [\alpha \theta (1-n) - 2 \mu^2] + \sigma \beta \alpha (1-m) [\sigma \beta (1-m) + \alpha (1-n)(\mu - a)]$$

$$D_3 = \mu(\mu - a)^2 [\sigma \beta (1-m) (2 \theta + \Lambda) + (\mu - a) [2 \alpha \theta (1-n) - \mu^2 (\mu - a)]]$$

$$D_4 = \mu^2 \theta (\mu - a)^3 > 0$$

وبتطبيق قاعدة ديسكارت رول [14] فان النقطة E_1

تكون موجودة و موجبة اذا تحقق الشرط التالي:

$$\mu > a \quad (8)$$

$$D_4 = \mu^2 \theta (\mu - a)^3 > 0$$

4. تحليل الاستقرارية المحلية والكلية للنظام (1) عند النقطة E_0

في هذا الجزء سندرس الاستقرارية المحلية للنظام (1) ولكل نقاط التوازن الخاصة بالنظام وذلك بالاعتماد على

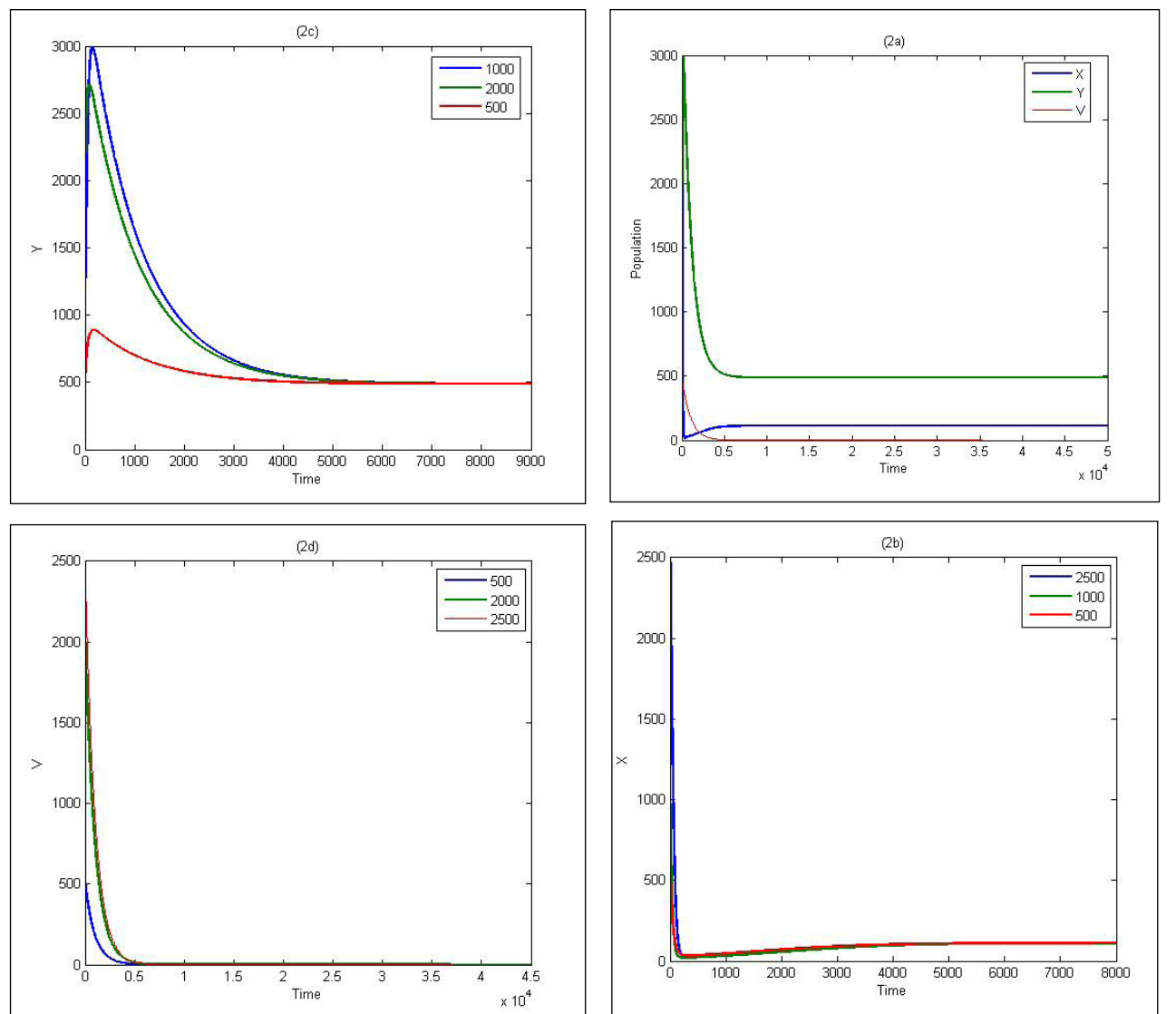
مصفوفة جاكوبية والتي يمكن كتابتها بالشكل ادناه:

$$J = \begin{bmatrix} -[\beta(1-m)V + \alpha(1-n)Y + \mu] & -\alpha(1-n)X & -\beta(1-m)X \\ \beta(1-m)V + \alpha(1-n)Y & \alpha(1-n)X - \mu & \beta(1-m)X \\ 0 & \sigma & a - \mu \end{bmatrix} \quad (9)$$

لدراسة الاستقرارية المحلية للنظام (1) عند النقطة E_0

نعرض النقطة في المصفوفة (9) كما مبين في النظرية ادناه.

نظرية (1): لتكن النقطة E_0 موجودة فعندها تكون



الشكل(2): متسلسلة زمنية حل النظم (1) والذي يبدأ من ثلاث نقاط ابتدائية مختلفة.

اما اذا غيرنا قيم بعض الباراميتراط او الثوابت الموجودة في المعادلة (23) حيث يمكننا إعادة كتابة المعادلة (23) ادناه فان حل النظم سيتجه الى النقطة الثانية كما مبين في الشكل (3).

$$\begin{aligned} \Lambda = 5, \theta = 5, \beta = 0.0001, \alpha = 0.0001, \mu = 0.1, m = 0.5, n = 0.2, \\ a = 0.0, \sigma = 0.0001 \end{aligned} \quad (24)$$

في الشكل اعلاه والذي يبين الاستقرارية الكلية لنقطة التوازن الاولى في حالة غياب البيئة للنظام (1) والذي ينطلق من ثلاث نقاط ابتدائية مختلفة وهي (2500, 500, 1000) (2500, 500, 500), (2000, 2000, 1000) حيث نلاحظ كلها تتجه الى نقطة التوازن $E_0 = (112,487,0)$.

وبتبسيط هذه المعادلة ينتج:

$$\begin{aligned} \frac{dK_2}{dt} = & \frac{-[\beta(1-m)V + \alpha(1-n)Y + \mu](X - X_1)^2}{2} + [\beta(1-m)V + \alpha(1-n)(Y - Y_1)] \\ & \times (X - X_1)(Y - Y_1) - \frac{[\mu - \alpha(1-n)X_1](Y - Y_1)^2}{2} - \frac{[\beta(1-m)V + \alpha(1-n)Y + \mu](X - X_1)^2}{2} \\ & - \beta(1-m)X_1(X - X_1)(V - V_1) - \frac{[\mu - a](V - V_1)^2}{2} - \frac{[\mu - \alpha(1-n)X_1](Y - Y_1)^2}{2} \\ & + [\beta(1-m)X_1 + \sigma](Y - Y_1)(V - V_1) - \frac{[\mu - a](V - V_1)^2}{2} \end{aligned}$$

وإذا كانت الشروط (19-22) متحققة فان:

$$\begin{aligned} \frac{dK_2}{dt} \leq & \left[\sqrt{\frac{\beta(1-m)V + \alpha(1-n)Y + \mu}{2}}(X - X_1) - \sqrt{\frac{\mu - \alpha(1-n)X_1}{2}}(Y - Y_1) \right]^2 \\ & - \left[\sqrt{\frac{\beta(1-m)V + \alpha(1-n)Y + \mu}{2}}(X - X_1) - \sqrt{\frac{\mu - a}{2}}(V - V_1) \right]^2 \\ & - \left[\sqrt{\frac{\mu - \alpha(1-n)X_1}{2}}(Y - Y_1) - \sqrt{\frac{\mu - a}{2}}(V - V_1) \right]^2 \end{aligned}$$

حيث ان $\frac{dK_1}{dt} < 0$ لأي شرط ابتدائي و K_1 تحقق دالة ليبانوف اذا تحققت الشروط (19-22) وهذا ينبع من نقطة التوازن

▪ (E_1) تكون مستقرة استقراراً كلياً.

فونتها تكون كل الجذور للمصفوفة اعلاه موجودة في المنطقة:

$$\xi = \bigcup \left\{ U^* \in C : |U^* - C_i| < \sum_{i=1}^3 |b_j| \right\}$$

فإذا تحقق الشرط (18) فكل الجذور للصفوفة اعلاه تكون بالجزء السالب وبهذا تكون النقطة E_1 مستقرة استقراراً محلياً انتهي البرهان.

بعد ان وضعنا شروط الاستقرارية المحلية للنقطة E_1 الان نحاول ايجاد الاستقرارية الكلية لها وذلك باستخدام دالة ليبانوف ايضاً كما موضح في النظرية التالية:

نظرية (4): اذا كانت النقطة E_1 مستقرة استقراراً محلياً فانها تكون مستقرة استقراراً كلياً اذا تحققت الشروط التالية:

$$\max\{a, \alpha(1-n)X_1\} < \mu \quad (19)$$

$$[\beta(1-m)V + \alpha(1-n)Y - X_1]^2 < [\beta(1-m)V + \alpha(1-n)Y + \mu] \mu \quad (20)$$

$$[\beta(1-m)X_1]^2 < [\beta(1-m)V + \alpha(1-n)Y + \mu] \mu - a \quad (21)$$

$$[\beta(1-m)X_1 + \sigma]^2 < [\mu - \alpha(1-n)X_1] [\mu - a] \quad (22)$$

البرهان:

لتكن K_2 دالة موجبة حيث ان:

$$K_2 = \frac{(X - X_1)^2}{2} + \frac{(Y - Y_1)^2}{2} + \frac{(V - V_1)^2}{2}$$

من الواضح ان $R \rightarrow R_+^3$ هي دالة مستمرة ومشتقتها

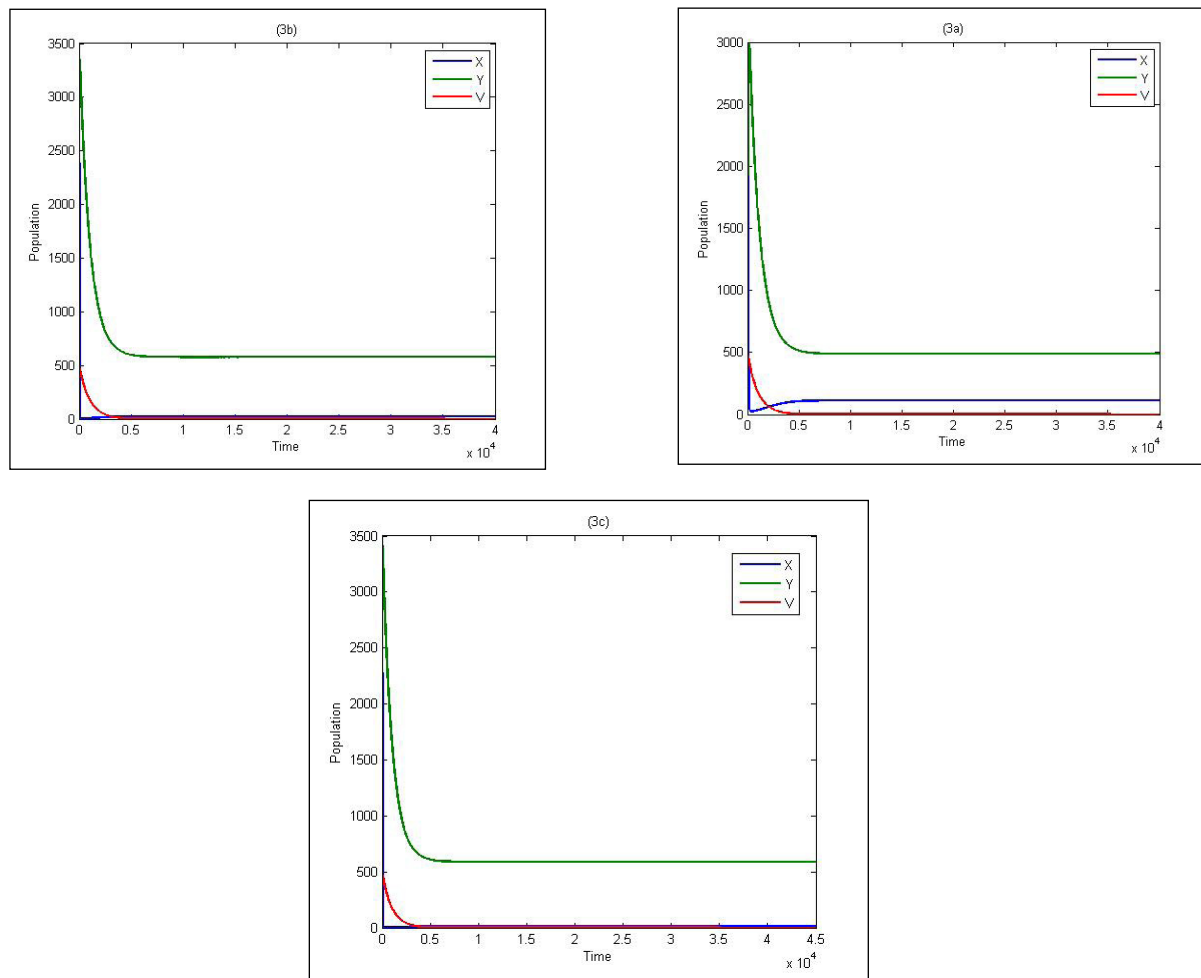
مستمرة ايضاً بحيث ان:

$$K_2 = (X_1, Y_1, V_1) = 0, \quad K_2(X, Y, V) > 0 \quad \forall (X, Y, V) \neq (X_1, Y_1, V_1)$$

وبأخذ المشتقة للدالة K_2 نحصل على:

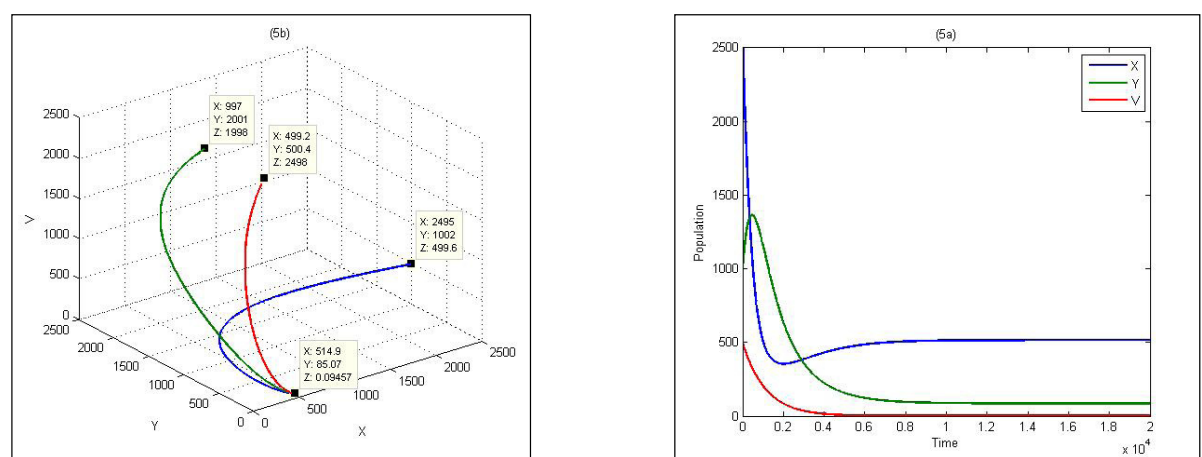
$$\begin{aligned} \frac{dK_2}{dt} = & (X - X_1) \frac{dX}{dt} + (Y - Y_1) \frac{dY}{dt} + (V - V_1) \frac{dV}{dt} \\ = & (X - X_1)(\Lambda - \beta(1-m)XV - \alpha(1-n)XY - \mu X) \\ & + (Y - Y_1)(\theta + \beta(1-m)XV + \alpha(1-n)XY - \mu Y) \\ & + (V - V_1)(aV + \sigma Y - \mu V) \end{aligned}$$

تأثير الطلبة اصحاب المستوى الدراسي المنخفض α على من الواضح من خلال الاشكال اعلاه نلاحظ ان عند السلوك الديناميكي للنظام (1) من خلال الحل العددي الزيادة بقيمة تأثير البيئة β ان النظام يبقى مستقر ومتوجه نحو نقطة التوازن E_1 اضافة الى ذلك نلاحظ ان اعداد كل من الطلبة الجيدين يتناقص بينما عدد الطلبة اصحاب المستوى الدراسي المنخفض في حالة تزايد مع تزايد ايضاً البيئة. (24) مع تغيير قيم $\alpha = 0.001, 0.005, 0.0$ حيث ان النتائج تبين في الاشكال (5a-5c).



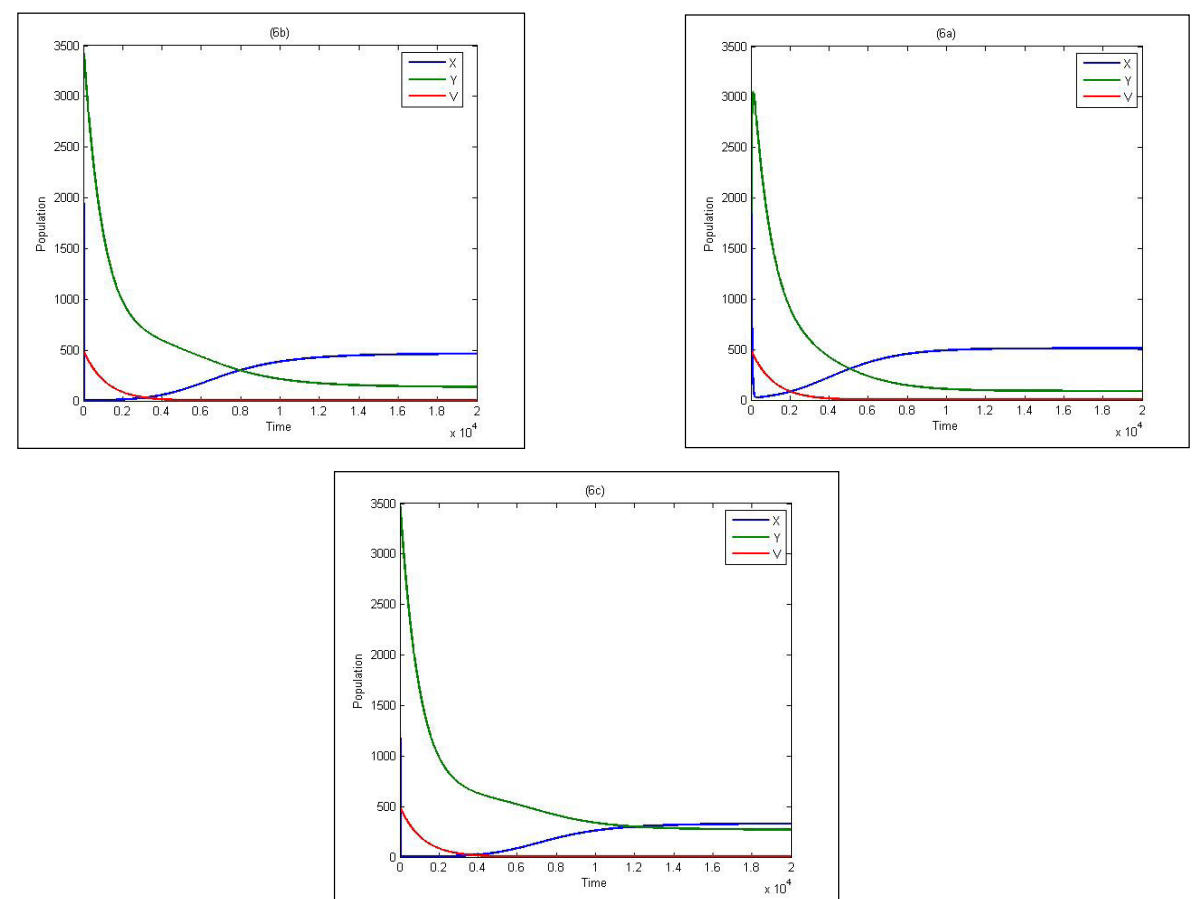
الشكل (5): النظام (1) يتوجه نحو نقطة التوازن (E_1). حيث ان (a) حيث ان $\alpha = 0.001$, (b) عندما $\alpha = 0.005$, (c) عندما $\alpha = 0.0$.

بسهولة نلاحظ في الاشكال اعلاه ان الزيادة بقيمة تأثير الطلبة اصحاب المستوى الدراسي المنخفض α على السلوك الديناميكي للنظام (1) من المستوى المنخفض n على السلوك الديناميكي للنظام (1) من الطلبة اصحاب المستوى الدراسي المنخفض α ان النظام يبقى مستقر ومتوجه نحو نقطة التوازن E_1 اضافة الى ذلك نلاحظ ان اعداد الطلبة الناجحون يتناقص بينما عدد الطلبة ذات المستوى المنخفض يتزايد. وذلك بتشييد قيم الباراميترات والمبينه بالمعادله (24) مع تغيير قيم $n = 0.2, 0.7, 1$ حيث



الشكل (3): حل النظام (1) والذي يمثل الاستقرارية الكلية للنقطة الثانية.

والان ندرس تأثير نسبة تأثير البيئة β على السلوك وذلك بتشييد قيم الباراميترات والمبينه بالمعادله (24) مع الدинاميكي للنظام (1) من خلال الحل العددي للنظام (1) تغيير قيم $\beta = 0.0, 0.1, 0.3$ حيث ان النتائج تبين في الاشكال (4a-4c).



الشكل (4): النظام (1) يتوجه نحو نقطة التوازن (E_1). حيث ان (a) حيث ان $\beta = 0.0$, (b) عندما $\beta = 0.1$, (c) عندما $\beta = 0.3$.

- ❖ زيادة التعاون بين المدارس وأولياء الطلبة.
- ❖ ضرورة التأكيد على الزيارات المفاجئة والمتركرة من قبل أولياء الطلبة إلى المدارس.

- ❖ توعية بعض أولياء الأمور للطلبة لتحسين معاملة أولادهم.

المصادر

- [1] قطوش، سامية، ، الفقر مولد الجريمة دائرة العنف تتسع مع ازدياد درجة التطور والتقدم، العرب الاسبوعي، مجتمع 29. (2009)

- [2] اليوسف، ، أطفال الشوارع بداية مشكلة أمنية، بحث مقدم لندوة الطفولة المبكرة خصائصها واحتياجاتها. (2005).

- [3] Payne, R. K. A Framework for Understanding Poverty, Highlands, TX: aha! Process, Inc, P. 31-55. (2005).

- [4] Mickelson, R. A. 1990. The Attitude-Achievement Paradox among Black Adolescents, Sociology of Education, (1).

- [5] Chao, R. K. and Willms, J. D. Family Income, Parenting Practices, and Childhood Vulnerability: A Challenge to the “Culture of Poverty, Thesis, Policy Brief, No. 9, Canadian Research Institute for Social Policy. (2000).

- [6] Kräfli, S. Educating Nomadic Herders Out of Poverty Culture, Education and Pastoralism.

- للحل التحليلي للنظام قمت بدراسة عدديه للنظام من خلال عدد من الشروط الابتدائية المختلفة وقيم لعدد من الباراميرات الافتراضية والملخصة بالاتي:

1. من خلال مجموعة الباراميرات الافتراضية المعطاة في المعادلة (23) نلاحظ ان النظام مستقر استقرارا كليا نحو نقطة التوازن الاولى وهي $E_0 = (112,487,0)$

2. ومن خلال مجموعة الباراميرات الافتراضية المعطاة في المعادلة (24) نلاحظ ان النظام مستقر استقرارا كليا نحو نقطة التوازن الثانية وهي $E_1 = (514,8, 0.9)$.

1. عند زيادة نسبة تأثير البيئة بزيادة نسبة β النظام يتوجه نحو نقطة التوازن E_1 كما نلاحظ نقصان في اعداد X و Z .

2. عند زيادة نسبة تأثير الطلبة اصحاب المستوى الدراسي المنخفض α نلاحظ نقصان في اعداد X و Z و زيادة في اعداد Y, V .

3. في حالة زيادة نسبة فشل تأثير الطلبة اصحاب المستوى الدراسي المنخفض n , نلاحظ نقصان في كل من V, Y و زيادة في اعداد X . والنظام يقترب من نقطة التوازن E_1 .

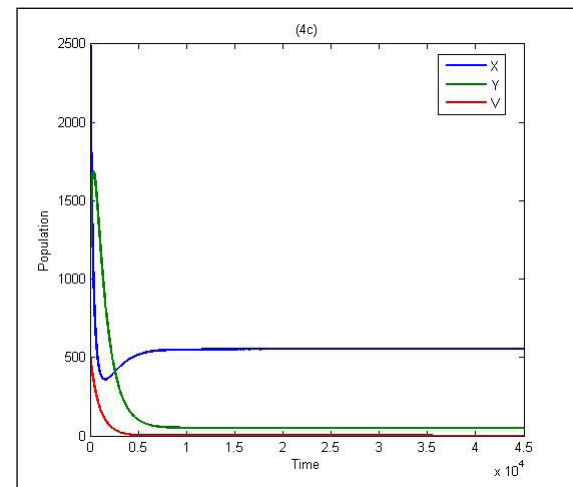
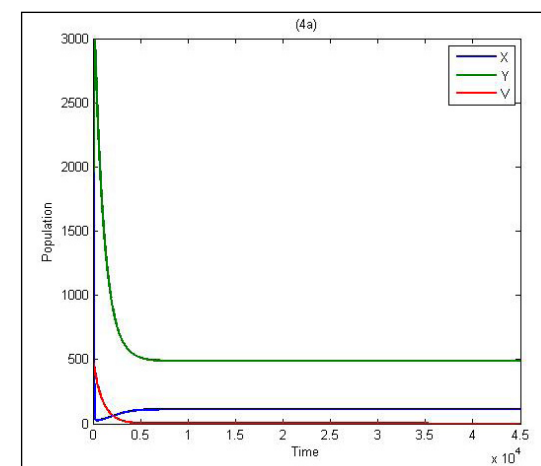
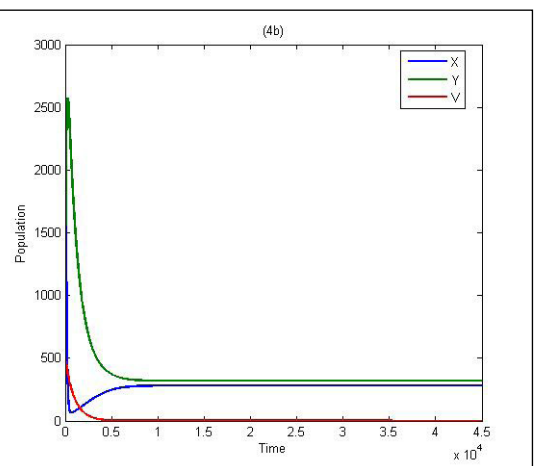
7. التوصيات

- ❖ التأكيد على تفعيل مشروع المدرس المساعد الذي له دور مهم وإيجابي في تطوير العملية التعليمية والتربوية.

- ❖ توعية الطلبة حول الاستخدام الامثل والإيجابي للتكنولوجيا والاستفادة منها في تطوير المستوى العلمي للطلبة.

- ❖ تفعيل دور المرشد التربوي لمتابعة الطلبة أصحاب الحالة الاجتماعية الضعيفة ومحاولة مساعدتهم.

- ❖ تفعيل مجالس الاباء ومحاولة اقامتها قبل الامتحانات وبواء اكبر من اجتماعين في السنة الدراسية.



الشكل (6): النظام (1) يتوجه نحو نقطة التوازن (E_1) . حيث ان (a) عندما $n = 0.2$, (b) $n = 0.7$, (c) عندما

من الواضح ان في الاشكال اعلاه نلاحظ ان الزيادة بقيمة X مجتمع الطلبة الناجحون, Y مجتمع الطلبة اصحاب المستوى الدراسي المنخفض و V تمثل البيئة المؤثرة على التعليم. درست الى ذلك نلاحظ ان اعداد الطلبة اصحاب المستوى الدراسي وحدانية وجود وقيود الحل للنظام المقترن. تم ايجاد نقطي المترافق يتناقص بينما عدد الطلبة الناجحون يتزايد.

7. الاستنتاجات والمناقشة: في هذا الجزء، اقترحت وحللت نموذج رياضي يدرس السلوك الديناميكي لتأثير البيئة والطلبة المشاغبون على المستوى التعليمي ونسب النجاح. حيث يتكون النظام من اذا تحققت الشروط (15-17)، والنقطة الثانية E_1 تكون مستقرة استقرارا كليا اذا تحققت الشروط (10-12, 18). كما ان نقطة التوازن محلبا اذا تحققت الشروط (10-12, 18). كما ان نقطه التوازن الاولى E_0 تكون مستقرة استقرارا كليا اذا تحققت الشروط (17-15)، والنقطة الثانية E_1 تكون مستقرة استقرارا كليا اذا تحققت الشروط (19-22). ولفهم تأثير كل الباراميرات ثلاثة معادلات تفاضلية غير خطية تمثل ثلاثة مجتمعات مختلفة على الديناميكيه الكلية للنظام (1) ولتقديم صورة اوضح

تأثير اضافة الطابوق المكسر على بعض خواص الكتل الخرسانية المحمولة

مشتاق صادق راضي

قسم الهندسة المدنية، كلية الهندسة، جامعة كربلاء، العراق

تاريخ الاستلام: 2016 / 6 / 2

تاريخ قبول النشر: 2016 / 7 / 21

Abstract

In this research, the effect of using crushed brick as an alternative to the coarse aggregate on some load-bearing hollow concrete block properties were investigated.

The hollow concrete blocks with standard dimension ($150 \times 150 \times 300$) mm, were produced. The mix proportions were (1) cement to (6) total aggregate. The coarse aggregate was replaced by the crushed brick in volumetric percent at rate of (25 %, 50%, 100%), then the effect of the replacement was investigated on some concrete block properties such as compressive strength, density, absorption and thermal and sound insulation in different ages (7, 14, 28) days. According to the results, crushed brick can be used as coarse aggregate to produce load-bearing hollow concrete blocks class B with medium concrete density that can be used in interior wall or exterior wall that protected from moisture and weather conditions. The optimum percent of replacement of crushed brick was (50%). Some properties like density, thermal insulation was improved, while, the other properties like compressive strength, absorption, sound insulation was kept at acceptable range. It can be concluded that the effect of the crushed brick as aggregate on concrete blocks properties, compared to normal aggregate, resulting from the combined effect low density, low crushing value, surface roughness, and its contribution to the process of internal curing for the concrete. Also, the use of crushed brick has an environmental effect in terms of its contribution to the recycling process for this waste materials and save the environment from it, as well as to reduce the pressing on sources of natural aggregates, which considered a national resources and must be preserved and be used in optimal utilization.

Keywords

Hollow Concrete Block, Crushed Brick, density, compressive strength

ral livelihood in Turkana and Karamoja, Sussex, United Kingdom: of Sussex Institute of Development Studies. (2001).

[7] Milanovic, B. and El-Kogali, S. The Determinants and Effects of Khat Consumption Evidence from Djibouti and Yemen Household Surveys, The World Bank Group. (2001).

[8] Jordan, Gregory. The Causes of Poverty Cultural vs. Structural: Can There Be a Synthesis, Perspectives in Public Affairs, P18-34. (2004).

[9] Gorski, P. The Myth of the “Culture of Poverty, Leadership Education, 65(7): 32-36. (2008).

[10] Small, M. L.; David, J. H. and Michele, L. Reconsidering Culture and Poverty, Annals of the American Academy of Political and Social Sciences, 629: 6-27. (2010).

[11] علي وعبدالحسين محمد، التحصيل الدراسي والتعلم وعلاقة الأسرة بها، مركز تطوير الملاكات، هيئة التعلم التقني، (2001).

[12] طعيمة وسعيد، الأسرة والمدرسة وأهم عوامل التحصيل الدراسي، المكتبة العلمية، بيروت، (2002).

[13] عبد المنعم وعبد الرحمن، أهمية البيئة المترهلة في تعزيز التعلم عند الطلبة، مركز تدريب المعلمين في الأمانة العامة للمؤسسات التربوية - الأردن - عمان، 2008.